

08-13-IB-CN-701 Granito de Mandin ($O_2^{b_2} Y_7^{b_2}-O_4^{b_2} Y_4^{b_2}$). Granito de dos micas orientado (precinemático). Contacto entre las facies de grano fino con las de grano grueso.



08-13-IB-CN-702 Contacto entre el Granito de Mandin (2 micas, - orientado) con el metamorfismo (O_{2-3}).



08-13-IB-CN-703 Granito de Albarellos (P_{23}^b y 2^2). Granitos de dos
micas, porfídico de grano medio grueso. Granito -
Post-cinemático Silúrico: Noroeste de Albarellos



08-13-IB-CN-704 Alternancias de cuarcitas blancas en bancos continuos con pizarras (O_{12}^2), dentro del anticlinal de Mourazos.



08-13-IB-CN-705 Pizarras negras (O_{2-3}) Esquistos micáceos andalu-
cíticos del metamo de contacto.
Localidad: Feces de Cima.

08-13-IB-CN-706

Pizarras arenosas alternando con niveles pelíticos dentro de la Sierra Verde (SD) con filoncillos de cuarzo de segregación.
Carretera de Villardevos a Progo.





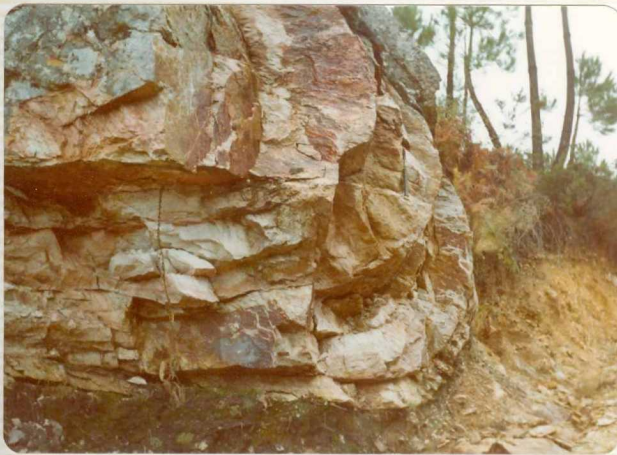
08-13-IB-CN-707 Potente banco de liditas (Sv) con frecuentes ve-
nillas de cuarzo, dentro de la Serie Verde (SD)
Localidad: Marban al Noreste de Verín.



08-13-IB-CN-708 Cuarcitas lentejonares (Y_1) dentro de la Sierra Verde. Kilómetro 8'500 de la carretera Verín a Villardevos



08-13-IB-CN-709 Niveles centimétricos de Líditas alternando con pizarras negras y amplexitas dentro de la Serie Verde (SD).
Bemposta (carretera Verín a Villardevos).



08-13-IB-CN-710 Pliegue isoclinal de plano axial sub-horizonal de F_2 en las cuarcitas (bandas) continuas (y_2) del Silúrico-Devónico, en terminación - perisinclinal.
Flanco Oeste del sinclinorio de Verín.
Situación: Norte de Castrelo de Lima (Las Copurras).



08-13-IB-CN-711 Liditas S_1 (potente banco de liditas en am-pelitas) dentro de la formación SD^{ε} (Pizarras con cuarcitas lentejonares) Flanco Oeste del sinclinalio de Verín.
Carretera Verín-La Gudiña



08-13-IB-CN-712 Secuencia filitograuvaca (SDw) en el núcleo
del Sinclinorio de Verín.
Localidad: Ventas de la Barrera.



08-13-IB-CN-713 Metavulcanitas (Traquitas) interestratificadas en secuencia grauvaca-filita (Serie volcano-sedimentaria) cantera de Navallo.



08-13-IB-CN-714 Vista general de cantera en Iraquitas (Navallo)



08-13-IB-CN-715.- Enclaves metamórficos dentro del Granito de Mandires (metaliditas y esquistos micáceos andalucíticos). Camino de Mandira a Villardeciervos.



08-13-IB-CN-716.- Vista panorámica del Valle de Verín desde Salgueira (Noroeste de Villazal).



08-13-IB-CN-700 Granito de Villardevos. $2,3\text{ y }^2$ ^{bm}. Granito de dos
micas, de grano medio a grueso (alterado). Ca-
terra de Enjames a Florderey.